

DEUTSCHES ELEKTRONEN-SYNCHROTRON

**DESY**

DESY A 2.103

August 1963

ABSCHÄTZUNG DER MEHRFACHERZEUGUNG BEI EXPERIMENTEN  
ZUR PHOTO-EINFACH-ERZEUGUNG

von

J. von Behr

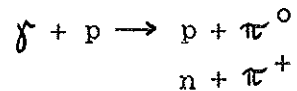
G. Ripken

## ABSTRACT

The double photoproduction of pions will increase the counting rate of protons from single photoproduction at several GeV. This increase (as a function of the peak energy of the bremspectrum) is discussed on the basis of the available phase-space in the laboratory system. The  $\rho$ - $\rho$ -isobar is considered as a further channel for double production. The method is compared with experiments between 0.5 GeV and 1 GeV.

## EINLEITUNG

Bei der Planung eines Experimentes zur Photoproduktion (im GeV-Bereich) von  $\pi$ -Mesonen



mußte die Frage diskutiert werden, wie sich eine bei der experimentellen Anordnung mögliche Mehrfachproduktion auf die Zählrate der Rückstoßprotonen auswirkt. Zwar hat man bei vorgegebenem

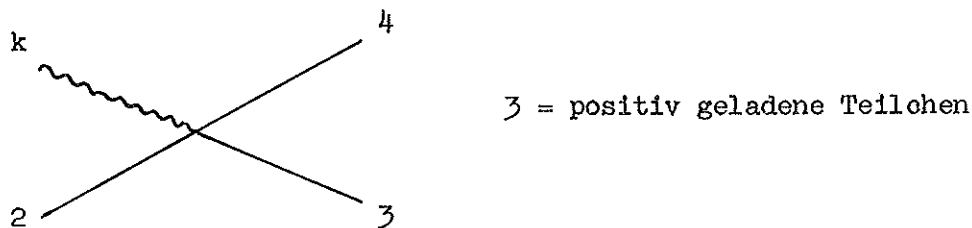


Fig. 1

$P_3, \theta_3, \phi_3$  (des geladenen Teilchens) für die Einfachproduktion eine genau definierte Energie  $k_1$  des produzierenden Photons. Mehrfachprozesse können dagegen erst bei einer Photonenenergie  $k \geq k_2$

$$k_1 = \frac{2 M_3 T_3 + M_\pi^2}{2 (P_3 \cos \theta_3 - T_3)}$$

$$k_2 = k_1 + \frac{3 M_\pi^2}{2 (P_3 \cos \theta_3 - T_3)}$$

auftreten. Wegen der undefiniertheit der Maximalenergie des Bremsspektrums und des endlichen Auflösungsvermögens des Spektrometers wird es jedoch nicht immer möglich sein, Mehrfachprozesse absolut auszuschließen.

Daher soll im folgenden mit Hilfe des statistischen Modells der Elementarteilchenproduktion eine Abschätzung der Mehrfachzählraten gegeben werden. Eine solche Abschätzung wird, dem Wesen der statistischen Theorie entsprechend, nur für große Impulsübertragung (zentraler Stoß) eine gewisse Gültigkeit haben. Dies entspricht auch gerade dem für das Experiment in Aussicht genommenen Winkel- und Impulsbereich.

## DIE BERECHNUNG DER RELATIVEN WAHRSCHEINLICHKEITEN

Als Form des Bremspektrums wurde vereinfachend ein Rechteck in der Umgebung der Kante angenommen.

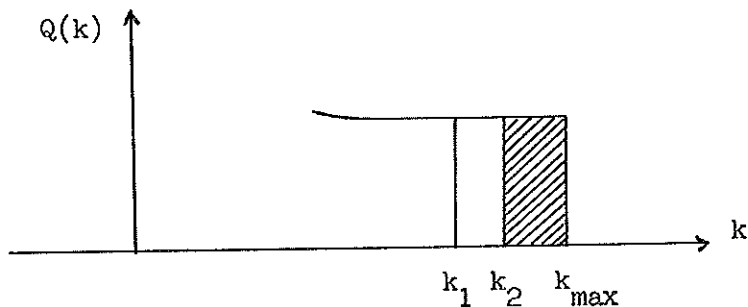


Fig. 2

Eine Verallgemeinerung auf beliebige Formen des Bremspektrums lässt sich später leicht durchführen. Der schraffierte Bereich trägt zur Zweifachproduktion bei.

Statistisches Modell. Während in der üblichen Anwendung des statistischen Modells<sup>1)</sup> die relativen Wahrscheinlichkeiten der einzelnen Ausgangskanäle bei gleicher Gesamtenergie des Systems berechnet werden, müssen bei uns Prozesse verglichen werden, die verschiedene Gesamtenergie besitzen<sup>+</sup>). Dies setzt voraus, daß sich der Gesamtwirkungsquerschnitt nicht wesentlich zwischen  $k_1$  und  $k_{\max}$  ändert. Ob diese Bedingung erfüllt ist, läßt sich im Augenblick noch nicht sagen. Neben der einfachen Zweifachproduktion wird auch der über das Nukleon-Isobar  $N_{3/2}^*$  laufende Kanal zur Zweifachproduktion beitragen. Beim statistischen Modell werden diese Kanäle als voneinander unabhängig angenommen, das heißt Interferenzglieder unterdrückt.

Die relativen Wahrscheinlichkeiten ergeben sich in der statistischen Theorie<sup>1)</sup> als Produkte von Faktoren verschiedener Herkunft:

1) vergl. z. B. R. Hagedorn, Il Nuovo Cimento 15 (X) 246 (1960)

+) Aus diesem Grunde werden wir einfachheitshalber den Phasenraum des Laborsystems berechnen, was ebenfalls eine Modifizierung des üblichen statistischen Modells darstellt.

$$\begin{aligned}
 Z_1 &= w_1(T) \cdot S_1 \cdot \xi_1 \cdot \Omega \cdot \left(\frac{1}{2\pi}\right)^3 \\
 Z_2 &= w_2(T) \cdot S_2 \cdot \xi_2 \cdot \Omega^2 \cdot \left(\frac{1}{2\pi}\right)^6 \\
 Z_r &= w_r(T) \cdot S_r \cdot \xi_r \cdot \Omega \cdot \left(\frac{1}{2\pi}\right)^3
 \end{aligned}$$

$Z_i$  = relative Zählraten

$w_i(T)$  = Isospinfaktoren

$S_i$  = Faktoren infolge Spin und Statistik

$\xi_i$  = Verallgemeinerter Phasenraum

$\Omega$  = Wechselwirkungsvolumen. (Einheitlich wurde  $\Omega = \frac{4\pi}{3} \left(\frac{\hbar}{m_\pi c}\right)^3$  gesetzt.)

Diese Faktoren werden in den folgenden Abschnitten gesondert behandelt.

### 1. Isospinfaktoren

Beim statistischen Modell ist der Anfangszustand, was die Isospinverhältnisse betrifft, nur durch den Gesamtisospin  $T$  und die Ladungskomponente  $T_3$  bestimmt. Bei vorgegebener Teilchenzahl gibt es aber im allgemeinen noch mehrere Zustände mit  $T, T_3$ , die sich durch die Quantenzahlen der intermediären Kopplung unterscheiden. Alle diese Zustände  $|j_{1,2} \dots j_{1,2 \dots, n-1}\rangle$  werden im Sinne der statistischen Theorie als gleichwahrscheinlich angenommen, und die Wahrscheinlichkeit des Übergangs von jedem dieser Zustände in den genau vorgegebenen Ladungszustand  $|m_1 \dots m_n\rangle$  muß berechnet werden. Die Summe dieser Wahrscheinlichkeiten

$$w(T) = \sum \left| \langle j_{1,2} \dots j_{1,2 \dots, n-1} | m_1 \dots m_n \rangle \right|^2$$

ist dann der Isospinfaktor<sup>2)</sup>.

Bei der Photoproduktion tritt insofern eine Komplikation ein, als der Gesamtisospin  $T$  des Anfangszustandes sowohl die Werte  $T = 1/2$  als auch  $T = 3/2$  annehmen kann. Wir geben daher neben  $w(T)$  auch den unter der Annahme gleichen Gewichtes errechneten Mittelwert  $\bar{w}(T)$  an.

2) Cerulus, Nuovo Cimento Suppl. 15 (X), S. 402-425 (1960)

Tabelle für  $w(T)$ 

Prozeß	T		gemittelt über T	
	1/2	3/2		
$\rightarrow p + \pi^0$	1/3	2/3	0,500	
$\rightarrow p + \pi^0 + \pi^0$	1/3	4/15	0,300	} 0,75
$\rightarrow p + \pi^- + \pi^+$	1/2	2/5	0,450	
$\rightarrow N^* + \pi^0 \rightarrow p + \pi^0 + \pi^0$	2/9	2/45	0,134	} 0,7
$\rightarrow N^* + \pi^- \rightarrow p + \pi^+ + \pi^-$	1/2	2/5	0,450	
$\rightarrow N^* + \pi^+ \rightarrow p + \pi^- + \pi^+$	1/18	8/45	0,116	
$\rightarrow n + \pi^+$	2/3	1/3	0,5	
$\rightarrow n + \pi^+ + \pi^0$	1/3	7/15	0,4	
$p + \pi^- + \pi^+$	1/2	2/5	0,45	
$\rightarrow N^* + \pi^+ \rightarrow p + \pi^- + \pi^+$	1/18	8/45	0,114	
$N^* + \pi^+ \rightarrow n + \pi^0 + \pi^+$	1/9	16/45	0,230	
$N^* + \pi^0 \rightarrow n + \pi^+ + \pi^0$	1/9	1/45	0,065	
$N^* + \pi^- \rightarrow p + \pi^+ + \pi^-$	1/2	2/5	0,450	
Diese Kanäle haben alle $\pi^+$ , aber der Phasenraum ist nicht gleich für den Resonanzkanal, da $\pi^+$ unterschiedlicher Her- kunft ist.				

2. Faktoren infolge Spin und Statistik

$$S = \frac{\prod (2S_j + 1)^{\mathcal{G}_j}}{\prod N_i !}$$

wo  $\mathcal{G}_j$  die Zahl der Teilchen mit Spin  $S_j$ ,

$N_i$  die Zahl der Teilchen einer Teilchensorte angibt.

Prozeß	S
$N + \pi$	2
$N + \pi + \pi$	1
$N^* + \pi$	4

### 3. Der verallgemeinerte Phasenraum

Der Phasenraum beim Zerfall eines Systems der Energie  $E$  in den Kanal "n" ist gegeben durch <sup>+)</sup>

$$\xi_n = \int \dots \int d\vec{p}_1 \dots d\vec{p}_{(n+1)} \cdot \delta(E - \sum E_i) \delta(\vec{p} - \sum \vec{p}_i). \quad (1a)$$

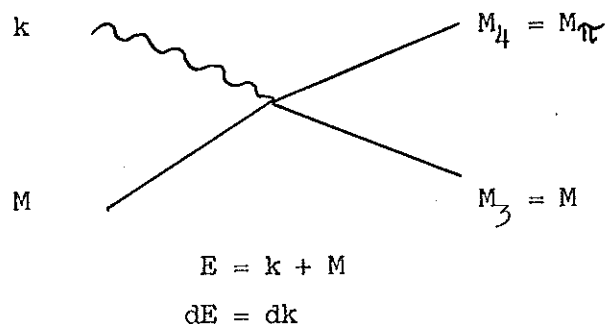
Liegt wie in unserem Falle eine Energieverteilung für den Anfangszustand vor, so setzen wir verallgemeinernd

$$\xi_n = \int Q(E) dE \int d\vec{p}_1 \dots d\vec{p}_{(n+1)} \cdot \delta(E - \sum E_i) \delta(\vec{p} - \sum \vec{p}_i). \quad (1b)$$

Dabei ist über alle mit den experimentellen Bedingungen verträglichen Bereiche zu integrieren.

Da die  $\xi_n$  zur Berechnung von relativen Wahrscheinlichkeiten herangezogen werden sollen, ist ein ihnen gemeinsamer Faktor unerheblich, und es kommt daher bei der Energie-Verteilung  $Q(E)$  nur darauf an, daß sie der Form des Bremsspektrums proportional ist.

#### I. Einfachproduktion



<sup>+)</sup>  soweit nicht anders vermerkt, beziehen sich alle Größen auf das Laborsystem.

$$\xi_1 = \int Q(k) dk \cdot \Delta \vec{p}_3 \cdot \int d\vec{p}_4 \cdot \delta(k + M - E_3 - E_4) \times \quad (2)$$

$$\times \delta(\vec{k} - \vec{p}_3 - \vec{p}_4)$$

$$\text{mit } E_3 = \sqrt{p_3^2 + M_3^2},$$

$$E_4 = \sqrt{p_4^2 + M_4^2}.$$

Die Integration über die Variable  $\vec{p}_4$  kann unmittelbar ausgeführt werden auf Grund der in (1) auftretenden  $\delta$ -Funktion

$$\delta(\vec{k} - \vec{p}_3 - \vec{p}_4),$$

die bewirkt, daß überall  $p_4 = \vec{k} - \vec{p}_3$  zu setzen ist:

$$\xi_1 = \Delta \vec{p}_3 \cdot \int dk \cdot Q(k) \cdot \delta[f(k)],$$

$$f(k) = k + M - \sqrt{p_3^2 + M_3^2} - \sqrt{(\vec{k} - \vec{p}_3)^2 + M_4^2}.$$

Weiterhin erhalten wir unter Verwendung der Formel

$$\delta[f(k)] = \frac{\delta(k - k_1)}{|f'(k_1)|},$$

wo  $k_1$  die Nullstelle der Funktion  $f(k)$  angibt:

$$\xi_1 = \Delta \vec{p}_3 \cdot Q(k_1) \cdot \frac{1}{1 - \frac{k_1 - p_3 \cos \theta_3}{\sqrt{k_1^2 - 2k_1 p_3 \cos \theta_3 + p_3^2 + M_4^2}}} \quad (3)$$

$$(\theta_3 = \angle(\vec{k}, \vec{p}_3)).$$

Die Bestimmungsgleichung für  $k_1$  lautet

$$k_1 + M - E_3 = \sqrt{k_1^2 - 2k_1 p_3 \cos \theta_3 + p_3^2 + M_4^2}, \quad (4)$$

wobei die auf der rechten Seite stehende Wurzel, die physikalisch eine Energie darstellt, mit positivem Vorzeichen zu nehmen ist. Erheben wir die linke und rechte Seite dieser Gleichung ins Quadrat, so fallen die quadratischen Glieder von  $k_1$  weg, und wir bekommen eine lineare Gleichung für  $k_1$  mit der Lösung ( $\Pi_3 \equiv E_3 - M = E_3 - M_3$ )

$$k_1 = \frac{2ME_3 - M_3^2 - M^2 + M_4^2}{2(p_3 \cos \theta_3 - E_3 + M)} \equiv \frac{2M\Pi_3 + M_4^2}{2(p_3 \cos \theta_3 - \Pi_3)}. \quad (5)$$

Damit schließlich (5) neben (4) auch die Bedingung

$$\sqrt{k_1^2 - 2k_1 p_3 \cos \theta_3 + p_3^2 + M_4^2} > 0$$

erfüllt (beim Quadrieren der Gl. (4) kann das Vorzeichen der Wurzel verloren gehen), haben wir nachträglich noch zu fordern

$$0 < k_1 + M - E_3 = \frac{(\sqrt{p_3^2 + M_4^2} + M - E_3)^2 + 2(E_3 - M)(\sqrt{p_3^2 + M_4^2} - p_3 \cos \theta_3)}{2(p_3 \cos \theta_3 + M - E_3)} \quad (6a)$$

oder, da mit  $E_3 - M = E_3 - M_3 > 0$  der ganze Zähler in (6a) positiv ist:

$$p_3 \cos \theta_3 + M - E_3 > 0. \quad (6b)$$

Diese Ungleichung kann nur mit einem Winkel

$$\theta_3 < \frac{\pi}{2} \quad (7)$$

erfüllt werden.

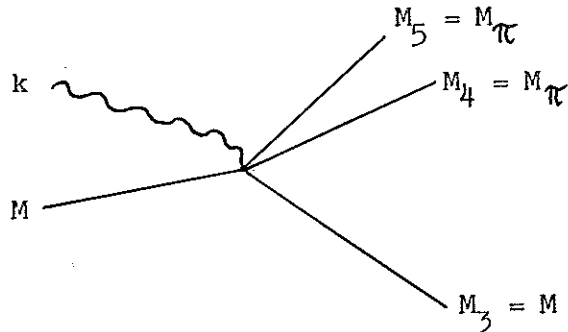
Ist

$$p_3 \cos \theta_3 + M - E_3 < 0, \quad (8a)$$

so besitzt (4) keine reelle positive Lösung  $k_1$ , und es folgt

$$\xi_1 = 0. \quad (8b)$$

## II. Zweifachproduktion



$$\xi_2 = \Delta \vec{p}_3 \cdot \int_{k_2}^{k_{\max}} R(k) dk, \quad (9a)$$

$$R(k) = \iint d\vec{p}_4 d\vec{p}_5 \cdot \delta(E - \sum_{i=3}^5 E_i) \delta(\vec{k} - \sum_{i=3}^5 \vec{p}_i), \quad (9b)$$

$$\begin{aligned} E_3 &= \sqrt{p_3^2 + M_3^2}, \\ E_4 &= \sqrt{p_4^2 + M_4^2}, \\ E_5 &= \sqrt{p_5^2 + M_5^2}, \\ E &= k + M. \end{aligned}$$

Die in (9a, b) auftretenden Integrationen lassen sich ebenso wie bei  $\xi_1$  wiederum analytisch ausführen. Zu dem Zweck spalten wir nach R. Hagedorn<sup>3)</sup> zunächst die Winkelintegrationen ab, indem wir setzen

$$\begin{aligned} \vec{p}_i &= p_i \cdot n_i; \quad |n_i| = 1, \\ d\vec{p}_i &\equiv p_i^2 dp_i dn_i \equiv p_i^2 \sin \theta_i d\theta_i d\phi_i dp_i. \end{aligned}$$

Dann wird

$$\begin{aligned} R(k) &= \int_0^{(p_4)_{\max}} dp_4 \int_0^{(p_5)_{\max}} dp_5 \cdot p_4^2 p_5^2 \times \\ &\times \delta(k + M - E_3 - E_4 - E_5) \times \\ &\times w(|\vec{k} - \vec{p}_3|, p_4, p_5), \end{aligned} \quad (10a)$$

3) R. Hagedorn, Fortschr. d. Physik 9, 1-28 (1961)

$$w(|\vec{k}-\vec{p}_3|, p_4, p_5) = \iint \delta(\vec{k}-\vec{p}_3 - p_4 \vec{n}_4 - p_5 \vec{n}_5) d\vec{n}_4 d\vec{n}_5. \quad (10b)$$

Führt man in (10b) die Fourier-Entwicklung der  $\delta$ -Funktion ein:

$$\delta(\vec{k}-\vec{p}_3 - p_4 \vec{n}_4 - p_5 \vec{n}_5) = \frac{1}{(2\pi)^3} \int d\vec{\lambda} e^{i\vec{\lambda}(\vec{k}-\vec{p}_3 - p_4 \vec{n}_4 - p_5 \vec{n}_5)},$$

so kann  $w(|\vec{k}-\vec{p}_3|, p_4, p_5)$  auf funktionentheoretischem Wege berechnet werden, und zwar ergibt sich (siehe F. Cerulus und R. Hagedorn, Nuovo Cimento 1958, 646-677)

$$w(|\vec{k}-\vec{p}_3|, p_4, p_5) = -\frac{\pi}{|\vec{k}-\vec{p}_3| \cdot p_4 \cdot p_5} \times \sum_{\epsilon_v = \pm 1} \epsilon_4 \epsilon_5 \cdot \operatorname{sgn}[|\vec{k}-\vec{p}_3| + \epsilon_4 p_4 + \epsilon_5 p_5]. \quad (11)$$

Durch Einsetzen von (11) in (10a) entsteht jetzt

$$R(k) = -\frac{\pi}{|\vec{k}-\vec{p}_3|} \cdot \int dp_4 \int dp_5 \cdot p_4 p_5 \times \delta(k + M - E_3 - E_4 - E_5) \times \sum_{\epsilon_v = \pm 1} \epsilon_4 \epsilon_5 \cdot \operatorname{sgn}[|\vec{k}-\vec{p}_3| + \epsilon_4 p_4 + \epsilon_5 p_5], \quad (12)$$

wobei die Integration zu erstrecken ist über das Gebiet

$$0 \leq p_4 \leq (p_4)_{\max} = \sqrt{(k + M - E_3 - M_5)^2 - M_4^2}, \\ 0 \leq p_5 \leq (p_5)_{\max} = \sqrt{(k + M - E_3 - M_4)^2 - M_5^2} \quad (13)$$

(Bedingung:  $k + M - E_3 \geq M_4 + M_5$ . Für  $k + M - E_3 < M_4 + M_5$  ist das Argument der in (12) auftretenden  $\delta$ -Funktion stets  $< 0$ , also  $R(k)$  und somit auch  $\mathcal{S}_2$  gleich Null. Daher können wir uns von vornherein auf den Fall  $k + M - E_3 \geq M_4 + M_5$  beschränken. Energiesatz!)

Zur Auswertung der in (12) auftretenden Summe

$$S(|\vec{k} - \vec{p}_3|, p_4, p_5) = \sum_{\epsilon_v = \pm 1} \epsilon_4 \epsilon_5 \cdot \operatorname{sgn} [|\vec{k} - \vec{p}_3| + \epsilon_4 p_4 + \epsilon_5 p_5] \quad (14)$$

ist es zweckmäßig, dieses Gebiet aufzuteilen in die drei Bereiche  $G_1$ ,  $G_2$ ,  $G_3$ , die von der  $p_4$ - bzw.  $p_5$ -Achse und einer der Geraden

$$p_5 = -p_4 + |\vec{k} - \vec{p}_3|, \quad (15a)$$

$$p_5 = p_4 - |\vec{k} - \vec{p}_3|, \quad (15b)$$

$$p_5 = p_4 + |\vec{k} - \vec{p}_3|. \quad (15c)$$

begrenzt werden, und das Gebiet  $G$ , das von allen drei Geraden (15) umschlossen wird.

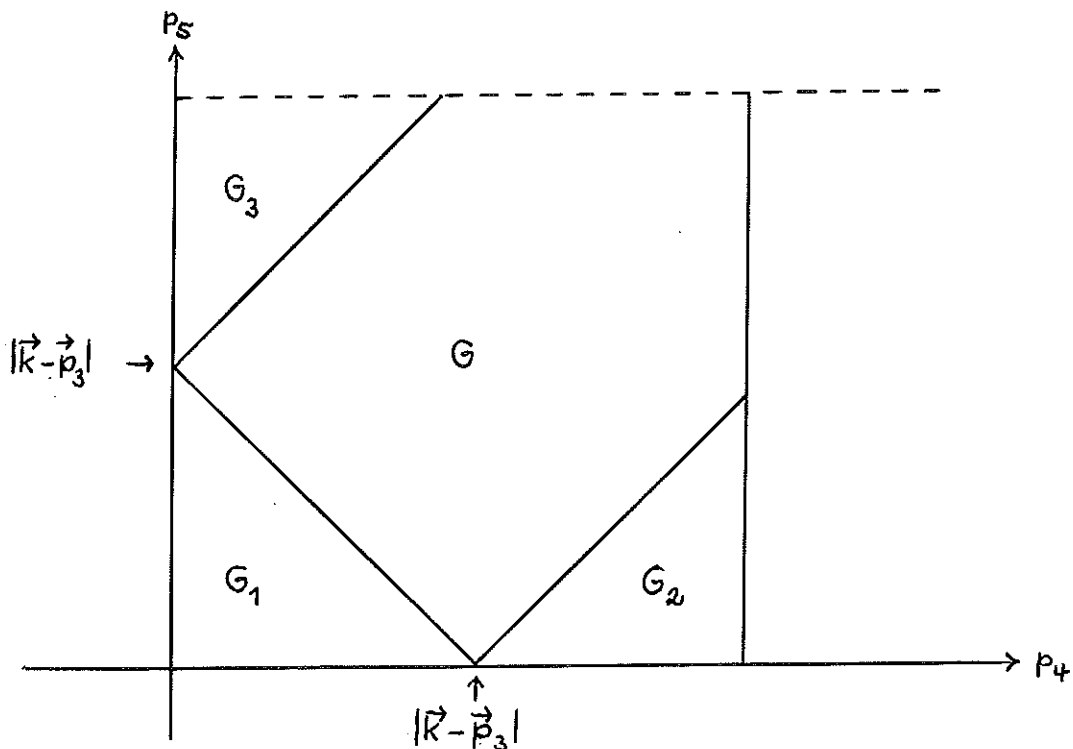


Fig. 3

Dann gilt

für  $(p_4, p_5) \in G$ :

$$|\vec{k} - \vec{p}_3| - p_4 - p_5 < 0$$

$$|\vec{k} - \vec{p}_3| - p_4 + p_5 > 0$$

$$|\vec{k} - \vec{p}_3| + p_4 - p_5 > 0$$

$$|\vec{k} - \vec{p}_3| + p_4 + p_5 > 0$$

$$S(|\vec{k} - \vec{p}_3|, p_4, p_5) = -2,$$

für  $(p_4, p_5) \in G_1$  :

$$|\vec{k} - \vec{p}_3| - p_4 - p_5 > 0$$

$$|\vec{k} - \vec{p}_3| - p_4 + p_5 > 0$$

$$|\vec{k} - \vec{p}_3| + p_4 - p_5 > 0$$

$$|\vec{k} - \vec{p}_3| + p_4 + p_5 > 0$$

$$S(|\vec{k} - \vec{p}_3|, p_4, p_5) = 0.$$

Entsprechend findet man:

$$S(|\vec{k} - \vec{p}_3|, p_4, p_5) = 0 \text{ für } (p_4, p_5) \in G_2 \text{ und } G_3.$$

Also ist die Funktion  $S(|\vec{k} - \vec{p}_3|, p_4, p_5)$  nur in  $G$  von Null verschieden, so daß der Integrationsbereich (13) auf das Gebiet  $G$  zusammenschrumpft und Gl. (12) übergeht in

$$\begin{aligned} R(k) &= \frac{2\pi}{|\vec{k} - \vec{p}_3|} \int_0^{(p_4)_{\max}} dp_4 \cdot p_4 \int_{(p_4, p_5) \in G} dp_5 \cdot p_5 \cdot \delta[f(p_5)] \\ &\quad \text{mit } f(p_5) = k + M - E_3 - E_4 - \sqrt{p_5^2 + M_5^2} \\ &= \frac{2\pi}{|\vec{k} - \vec{p}_3|} \int_0^{(p_4)_{\max}} dp_4 \cdot p_4 \int_{(p_4, p_5) \in G} dp_5 \cdot p_5 \cdot \frac{\delta(p_5 - \tilde{p}_5)}{|f'(\tilde{p}_5)|} \\ &\quad \text{mit } \tilde{p}_5 = \sqrt{(k + M - E_3 - E_4)^2 - M_5^2} \end{aligned} \tag{16}$$

$$= \frac{2\pi}{|\vec{k} - \vec{p}_3|} \int_0^{(p_4)_{\max}} dp_4 \cdot p_4 \cdot (k + M - E_3 - E_4) \times$$

$$\times \int_{(p_4, p_5) \in G} dp_5 \cdot \delta(p_5 - \tilde{p}_5).$$

Die in (14) im Argument der  $\delta$ -Funktion auftretende Größe

$$\tilde{p}_5 = \sqrt{(k + M - E_3 - \sqrt{p_4^2 + M_4^2})^2 - M_5^2}$$

stellt, als Funktion von  $p_4$  betrachtet, eine im Intervall

$$0 \leq p_4 \leq (p_4)_{\max}$$

von

$$(\tilde{p}_5)_{\max} = (p_5)_{\max} \quad \text{für } p_4 = 0$$

bis

$$\tilde{p}_5 = 0 \quad \text{für } p_4 = (p_4)_{\max}$$

monoton abnehmende Funktion dar.

Da nun

$$\int_{(p_4, p_5) \in G} dp_5 \cdot \delta(p_5 - \tilde{p}_5) = \begin{cases} 1, & \text{wenn } \tilde{p}_5 \in G \\ 0 & \text{sonst} \end{cases}$$

gilt, tritt eine weitere Reduktion des Integrationsgebietes auf, und zwar brauchen wir nicht mehr über das gesamte  $p_4$ -Intervall

$$0 \leq p_4 \leq (p_4)_{\max}$$

zu integrieren, sondern nur noch über dasjenige Intervall, welches man durch Projektion des ganz in  $G$  verlaufenden Kurvenzuges von  $\tilde{p}_5 = \tilde{p}_5(p_4)$  auf die  $p_4$ -Achse erhält. Die Endpunkte des neuen Integrationsintervalles und damit die Integrationsgrenzen für die  $p_4$ -Integration sind die  $p_4$ -Koordinaten der Schnittpunkte von  $\tilde{p}_5(p_4)$  mit dem Rand von  $G$ . Zur Berechnung dieser Schnittpunkte haben wir zwei Fälle zu unterscheiden:

a) Ist

$$p_3 \cos \Theta_3 - T_3 < 0, \\ (T_3 \equiv E_3 - M_3),$$

so folgt schrittweise

$$k^2 - 2k p_3 \cos \theta_3 + p_3^2 > k^2 - 2k T_3 + p_3^2 > (k - T_3)^2, \\ \text{da } T_3^2 < p_3^2;$$

$$\sqrt{k^2 - 2k p_3 \cos \theta_3 + p_3^2} \equiv |\vec{k} - \vec{p}_3| > (k - T_3);$$

$$|\vec{k} - \vec{p}_3| - p_4 > k - T_3 - E_4, \text{ da } p_4 < E_4;$$

$$|\vec{k} - \vec{p}_3| - p_4 > \sqrt{(k - T_3 - E_4)^2 - M_\pi^2} \equiv \tilde{p}_5$$

( $M_3 = M$ , also  $k - T_3 - E_4 = k + M - E_3 - E_4$ ;  $M_5 = M_\pi$ ), das heißt  $\tilde{p}_5$  liegt ganz im Gebiet  $G_1$ , also außerhalb  $G$ , so daß  $R(k)$  verschwinden muß:

$$R(k) = 0, \text{ wenn } p_3 \cos \theta_3 - T_3 < 0. \quad (17)$$

b)  $p_3 \cos \theta_3 - T_3 > 0.$

Hier haben wir zwei Unterfälle zu betrachten.

Ist  $k < k_2$  mit

$$k_2 = \frac{2M_\pi^2 + MT_3}{p_3 \cos \theta_3 - T_3}, \quad (18)$$

so gibt es keine Schnittpunkte mit dem Rand von  $G$ , da  $\tilde{p}_5$  ( $p_4$ ) wiederum ganz unterhalb der Geraden

$$p_5 = |\vec{k} - \vec{p}_3| - p_4$$

verläuft.

Für  $k > k_2$  dagegen schneidet die Kurve  $\tilde{p}_5$  den Rand von  $G$  in zwei Punkten. Die Schnittpunkte selbst errechnen sich zu

$$p_4^{(1)} = \frac{1}{2} \left| |\vec{k} - \vec{p}_3| - (k - T_3) \sqrt{\frac{k - k_2}{k - k_0}} \right|,$$

$$p_4^{(2)} = \frac{1}{2} \left| |\vec{k} - \vec{p}_3| + (k - T_3) \sqrt{\frac{k - k_2}{k - k_0}} \right|$$

mit

$$k_0 = \frac{MT_3}{p_3 \cos \theta_3 - T_3}. \quad (19)$$

Damit wird

für  $k \leq k_2$  :

$$R(k) = 0, \quad (20a)$$

für  $k > k_2$  :

$$R(k) = \frac{2\pi}{|\vec{k} - \vec{p}_3|} \int_{p_4^{(1)}}^{p_4^{(2)}} dp_4 \cdot p_4 \cdot (k - T_3 - E_4)$$

bzw. nach Einführung der Integrationsvariablen  $E_4 = \sqrt{p_4^2 + M_4^2}$  :

$$R(k) = \frac{2\pi}{|\vec{k} - \vec{p}_3|} \int_{\alpha - \beta}^{\alpha + \beta} dE_4 \cdot E_4 \cdot (k - T_3 - E_4)$$

mit  $\alpha - \beta = \sqrt{(p_4^{(1)})^2 + M_4^2}$ ,

$$\alpha + \beta = \sqrt{(p_4^{(2)})^2 + M_4^2},$$

$$\alpha = \frac{1}{2} (k - T_3), \quad (20b)$$

$$\beta = \frac{1}{2} \cdot |\vec{k} - \vec{p}_3| \cdot \sqrt{\frac{k - k_2}{k - k_0}},$$

$$\begin{aligned}
 R(k) = \frac{\pi}{6} \sqrt{\frac{k-k_2}{k-k_0}} \left\{ 2k^2 + \right. \\
 + k \left[ 2p_3 \cos \Theta_3 - 6T_3 + (k_2 - k_0) \right] + \\
 + \left[ 3T_3^2 - p_3^2 + (k_2 - k_0)(k_0 - 2p_3 \cos \Theta_3) \right] + \\
 \left. + \frac{(k_2 - k_0) \left[ k_0(k_0 - 2p_3 \cos \Theta_3) + p_3^2 \right]}{(k - k_0)} \right\}. \quad (20b)
 \end{aligned}$$

Nach Gl. (9a) tritt jetzt die Funktion  $R(k)$  in  $\mathcal{J}_2$  als Integrand auf. Auch diese Integration kann noch elementar durchgeführt werden. Unter Berücksichtigung der Formeln

$$\begin{aligned}
 \mathcal{J}_1 &\equiv \int_{k_2}^{k_{\max}} k^2 \cdot \sqrt{\frac{k-k_2}{k-k_0}} dk \quad (21a) \\
 &= \gamma \cdot \frac{(k_{\max} - k_0)}{24} \left\{ 8k_{\max}^2 + 2k_{\max}(5k_0 - k_2) - (3k_2^2 - 15k_0^2 + 4k_0k_2) \right\} \\
 &\quad - \frac{k_2 - k_0}{16} (k_2^2 + 5k_0^2 + 2k_0k_2) \cdot \ln \frac{1 + \gamma}{1 - \gamma};
 \end{aligned}$$

$$\begin{aligned}
 \mathcal{J}_2 &\equiv \int_{k_2}^{k_{\max}} k \cdot \sqrt{\frac{k-k_2}{k-k_0}} dk \quad (21b) \\
 &= \gamma \cdot \frac{(k_{\max} - k_0)}{4} \left\{ 2k_{\max} - (k_2 - 3k_0) \right\} - \\
 &\quad - \frac{(3k_0 + k_2)(k_2 - k_0)}{8} \cdot \ln \frac{1 + \gamma}{1 - \gamma};
 \end{aligned}$$

$$\begin{aligned}
 \mathcal{J}_3 &\equiv \int_{k_2}^{k_{\max}} \sqrt{\frac{k-k_2}{k-k_0}} dk \quad (21c) \\
 &= \gamma \cdot (k_{\max} - k_0) - \frac{k_2 - k_0}{2} \cdot \ln \frac{1 + \gamma}{1 - \gamma};
 \end{aligned}$$

$$J_4 \equiv \int_{k_2}^{k_{\max}} \frac{1}{k-k_0} \sqrt{\frac{k-k_2}{k-k_0}} dk \quad (21d)$$

$$= -2\gamma + \ln \frac{1+\gamma}{1-\gamma}$$

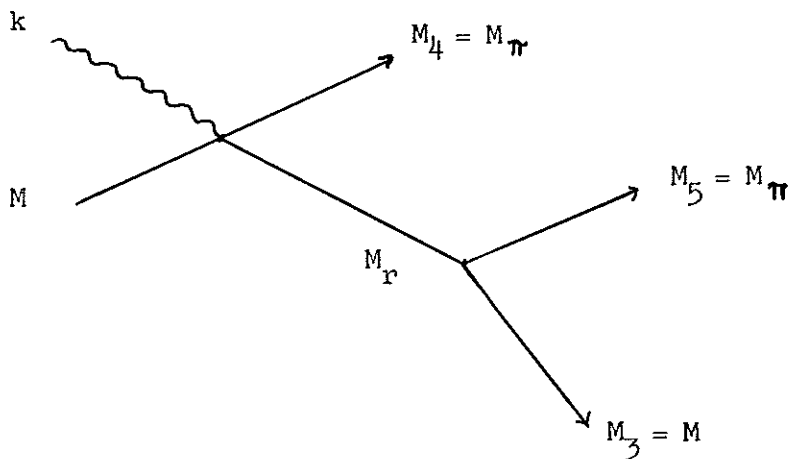
mit

$$\gamma \equiv \sqrt{\frac{k_{\max}-k_2}{k_{\max}-k_0}} \quad (22)$$

gewinnen wir schließlich

$$\begin{aligned} \beta_2 = \frac{\pi}{6} \left\{ 2 J_1 + \right. \\ \left. + [2p_3 \cos \theta_3 - 6T_3 + (k_2 - k_0)] \cdot J_2 + \quad (23) \right. \\ \left. + [3T_3^2 - p_3^2 + (k_2 - k_0)(k_0 - 2p_3 \cos \theta_3)] \cdot J_3 + \right. \\ \left. + (k_2 - k_0 [k_0(k_0 - 2p_3 \cos \theta_3) + p_3^2]) \cdot J_4 \right\} \end{aligned}$$

### III. Resonanz



$$\xi_r = \int d\vec{p}_r \cdot W_r \cdot \int dM_r \cdot f(M_r) \cdot dN_3(n_3) \quad (24)$$

$$\text{mit } \Delta \vec{p}_3 \equiv p_3^2 \cdot \Delta p_3 \cdot d n_3 \equiv p_3^2 \cdot \Delta p_3 \cdot \sin \Theta_3 d \Theta_3 d \phi_3,$$

$$d \vec{p}_r \equiv p_r^2 d p_r \cdot d n_r \equiv p_r^2 \cdot d p_r \cdot \sin \Theta_r d \Theta_r d \phi_r,$$

$$n_3 = (\sin \Theta_3, 0, \cos \Theta_3),$$

$$n_r = (\sin \Theta_r \cos \phi_r, \sin \Theta_r \sin \phi_r, \cos \Theta_r);$$

$$\Theta_3 = \angle (\vec{k}, \vec{p}_3),$$

$$\Theta_r = \angle (\vec{k}, \vec{p}_r);$$

$W_r \cdot \Delta \vec{p}_r$  = Verallgemeinerter Phasenraum bei Einfachproduktion eines Resonanzteilchens  $N^*$  der Masse  $M_r$  im Impulsintervall  $(\vec{p}_r, \vec{p}_r + \Delta \vec{p}_r)$  unter gleichzeitiger Emission eines Teilchens der Masse  $M_4$ ;

$f(M_r) d M_r$  = Massenspektrum des Resonanzteilchens  $N^*$ ;

$d N_3(n_3)$  = Wahrscheinlichkeit für die Emission eines Teilchens der Masse  $M_3$  durch  $N^*$  in das Raumwinkelement  $d n_3$ .

Wir berechnen  $\xi_r$  in mehreren Schritten.

1. Ermittlung des Phasenraumes  $W_r \cdot \Delta \vec{p}_r$ .

$$W_r \cdot \Delta \vec{p}_r = \Delta \vec{p}_r \cdot \int Q(k) dk \cdot \int d\vec{p}_4 \cdot \delta(k + M - E_r - E_4) \times \quad (25)$$

$$\times \delta(\vec{k} - \vec{p}_r - \vec{p}_4)$$

Da (25) der Form nach mit der Gl. (2) für  $\varphi_1$  übereinstimmt, können wir alle für  $\varphi_1$  gewonnenen Ergebnisse (Gl. (3), (5) bis (8)) unmittelbar auf den Phasenraum  $W_r \cdot \Delta \vec{p}_r$  übertragen und bekommen

$$W_r \cdot \Delta \vec{p}_r = \frac{\Delta \vec{p}_r \cdot Q(k_s)}{K_s - p_r \cos \Theta_r} \cdot \left( 1 - \frac{1}{\sqrt{k_s^2 - 2 k_s p_r \cos \Theta_r + p_r^2 + M_4^2}} \right), \quad (26)$$

wenn  $k_s + M - \sqrt{p_r^2 + M_r^2} > 0$ ,

bzw.  $p_r \cos \Theta_r + M - E_r > 0$ , da  $M_r \cong M$  ist;

(die letzte Bedingung kann wiederum nur mit einem Winkel  $\Theta_r < \frac{\pi}{2}$  befriedigt werden);

$$W_r \cdot \Delta \vec{p}_r = 0 \text{ sonst}$$

mit

$$k_s = \frac{2M \cdot \sqrt{p_r^2 + M_r^2} + M_4^2 - M_r^2 - M^2}{2(p_r \cos \Theta_r + M - \sqrt{p_r^2 + M_r^2})}. \quad (27)$$

2. Das Massenspektrum  $f(M_r)$  des Resonanzteilchens.

Die Funktion  $f(M_r)$  genügt der Breit-Wigner-Formel

$$f(M_r) dM_r = C \cdot \frac{\Gamma dM_r}{2\pi \left\{ (M_r - M_0)^2 + \frac{1}{4} \Gamma^2 \right\}}, \quad (28a)$$

$$M_0 - \Gamma \leq M_r \leq M_0 + \Gamma.$$

Dabei ist der Normierungsfaktor C so zu bestimmen, daß

$$\int_{M_0 - \Gamma}^{M_0 + \Gamma} f(M_r) dM_r = 1$$

wird. Mit

$$\int_{M_0 - \Gamma}^{M_0 + \Gamma} \frac{\frac{\Gamma}{2} \cdot dM_r}{(M_r - M_0)^2 + \frac{1}{4} \Gamma^2} = 2 \cdot \arctg 2$$

folgt

$$C = \frac{\pi}{2 \cdot \arctg 2} \quad (28b)$$

3. Wahrscheinlichkeit für die Emission eines Teilchens der Masse  $M_3$  durch  $N^*$  in das Raumwinkelement  $d\omega_3$ .

Im Ruhesystem  $\Sigma^*$  von  $N^*$ , das sich mit der Geschwindigkeit

$$\vec{\beta}_r = \frac{\vec{p}_r}{\sqrt{M_r^2 + p_r^2}} \quad (29)$$

gegenüber dem Laborsystem bewegt, ist die Richtungsverteilung der emittierten Teilchen isotrop, das heißt es gilt

$$dN_3 = F \cdot \delta(M_r - E_3^* - E_5^*) d\omega_3^* dE_3^*, \quad (30)$$

wo

$$E_3^* = \sqrt{M_3^2 + p_3^{*2}}$$

und

$$E_5^* = \sqrt{M_5^2 + p_5^{*2}}$$

die Energie der Teilchen  $M_3$  und  $M_5$  im System  $\Sigma^*$  bezeichnen und  $d\omega_3^*$  das Raumwinkelement  $d\omega_3$  in  $\Sigma^*$  angibt. Durch den Faktor  $F$  in Gl. (30) wird die Normierungsbedingung

$$\begin{aligned}
 1 &= \int dN_3 \\
 &= F \int dn_3^* \int \delta (M_r - E_3^* - E_5^*) dE_3^* \\
 &= F \cdot 4\pi
 \end{aligned}$$

berücksichtigt:

$$F = \frac{1}{4\pi} \quad (31)$$

während die im Argument der  $\delta$ -Funktion auftretende Energie  $E_5^*$  durch den Energie- und Impulssatz

$$M_r - \sqrt{p_5^{*2} + M_5^2} = \sqrt{p_3^{*2} + M_3^2}, \quad (32a)$$

$$p_5^* = p_3^* \quad (32b)$$

festgelegt ist und sich zu

$$E_5^* = \frac{M_r^2 + M_5^2 - M_3^2}{2M_r} \quad (33)$$

errechnet.

Unsere weitere Aufgabe besteht jetzt darin, diese Richtungsverteilung auf das Laborsystem  $\Sigma$  zu transformieren.

Zu dem Zweck bedenken wir, daß die Größe

$$p_3 dE_3 dn_3$$

eine relativistische Invariante darstellt:

$$p_3^* dE_3^* dn_3^* = p_3 dE_3 dn_3 \quad (34)$$

und somit Gl. (30) unter Berücksichtigung von (31) und (33) auch in der Form

$$\begin{aligned}
dN_3 &= \frac{1}{4\pi} \delta \left( \frac{M_r^2 + M_3^2 - M_s^2}{2M_r} - E_3^* \right) \frac{p_3}{\sqrt{E_3^{*2} - M_3^2}} dE_3 dn_3 \\
&= \frac{1}{4\pi} \delta \left( \frac{M_r^2 + M_3^2 - M_s^2}{2M_r} - E_3^* \right) \times \\
&\quad \times \frac{2M_r}{\sqrt{(M_r^2 + M_3^2 - M_s^2)^2 - 4M_r^2 M_3^2}} \cdot \frac{1}{E_3} \Delta \vec{p}_3
\end{aligned} \tag{35}$$

geschrieben werden kann.

Die in (35) auftretende Schwerpunktsenergie  $E_3^*$  muß noch durch physikalische Größen im Laborsystem ausgedrückt werden.

Zur Elimination von  $E_3^*$  benötigen wir die zwischen den beiden Inertialsystemen  $\Sigma$  und  $\Sigma^*$  bestehende Transformationsformel

$$A_o^* = \frac{A_o - (\vec{A}, \vec{\beta}_r)}{\sqrt{1 - \beta_r^2}}, \tag{36}$$

( $\vec{\beta}_r$  = Geschwindigkeit, mit der sich das System  $\Sigma^*$  gegen  $\Sigma$  parallel bewegt),

wo

$$A_v = (\vec{A}, A_o) \tag{37}$$

einen beliebigen Vierervektor bezeichnet. Tragen wir hier für  $A_v$  insbesondere die Komponenten des Viererimpulses

$$P_v = (\vec{p}_3, E_3)$$

ein, so entsteht aus (36)

$$E_3^* = \frac{E_3 - (\vec{\beta}_3, \vec{\beta}_r)}{\sqrt{1 - \beta_r^2}}$$

oder, wenn noch

$$\frac{1}{\sqrt{1 - \beta_r^2}} = \sqrt{1 + \frac{p_r^2}{M_r^2}}$$

$$\frac{\beta_r}{\sqrt{1 - \beta_r^2}} = \frac{p_r}{M_r}$$

gesetzt wird ( $\vec{\beta}_3 = p_3 \cdot n_3$ ,  $\vec{\beta}_r = \beta_r \cdot n_r$ ):

$$E_3^* = \sqrt{1 + \frac{p_r^2}{M_r^2}} \cdot E_3 - \frac{p_r}{M_r} \cdot p_3 \cdot (n_3, n_r) \quad (38)$$

$$(n_r, n_3) = \sin \theta_3 \cdot \sin \theta_r \cos \phi_r + \cos \theta_3 \cdot \cos \theta_r \quad (39)$$

Diese Gleichung haben wir nunmehr in (35) einzusetzen und bekommen schließlich als Ausdruck für die Richtungsverteilung im Laborsystem

$$dN_3 = \frac{1}{4\pi} \frac{\Delta \vec{p}_3}{E_3} \cdot \frac{2 M_r}{\sqrt{(M_r^2 + M_3^2 - M_5^2)^2 - 4 M_r^2 M_3^2}} \cdot \delta[f(p_r)], \quad (40)$$

$$f(p_r) = \frac{M_r^2 + M_3^2 - M_5^2}{2 M_r} - \sqrt{1 + \frac{p_r^2}{M_r^2}} \cdot E_3 + \frac{p_3 \cdot p_r \cdot (n_3, n_r)}{M_r}$$

Für die später durchzuführende Integration über  $p_r$  ist es noch zweckmäßig, den Faktor  $\delta[f(p_r)]$  in (40) in der Form

$$\delta[f(p_r)] = \sum_r \frac{\delta(p_r - p_r^{(v)})}{|f'(p_r)|},$$

$$f'(p_r) = -E_3 \cdot \frac{p_r}{M_r \sqrt{M_r^2 + p_r^2}} + \frac{p_3 \cdot (n_3, n_r)}{M_r} \quad (41)$$

zu schreiben. Dabei geben die Größen  $p_r^{(v)}$  die Nullstellen der Funktion  $f(p_r)$  an, sind also zu bestimmen aus der Gleichung

$$\sqrt{1 + \frac{p_r^2}{M_r^2}} \cdot E_3 = \frac{A}{M_r} + \frac{B}{M_r} \cdot p_r,$$

$$A = \frac{M_r^2 + M_3^2 - M_5^2}{2}, \quad B = p_3 \cdot (n_3, n_r), \quad (42)$$

wo die auf der rechten Seite von (42) stehende Wurzel mit positivem Vorzeichen zu nehmen ist:

$$\sqrt{1 + \frac{p_r^2}{M_r^2}} > 0. \quad (43)$$

Wird Gl. (42) auf beiden Seiten quadriert, so erhalten wir eine quadratische Gleichung für  $p_r$  mit den Wurzeln ( $v = 1, 2$ )

$$p_r^{(v)} = \frac{AB}{E_3^2 - B^2} \pm \frac{E_3}{E_3^2 - B^2} \sqrt{A^2 - M_r^2 (E_3^2 - B^2)}. \quad (44)$$

Diese Lösung erfüllt außerdem die Bedingung (43), wie man durch Einsetzen von (44) in die rechte Seite von (42) bestätigen kann. Tatsächlich ergibt sich dann (falls  $p_r^{(v)}$  reell, das heißt  $A^2 - M_r^2 (E_3^2 - B^2) > 0$  ist; nur die reellen Wurzeln  $p_r^{(v)}$  brauchen bei der  $p_r$ -Integration berücksichtigt zu werden, vgl. Gl. (41))

$$\begin{aligned}
 M_r E_r \sqrt{1 + \frac{p_r^{(v)2}}{M_r^2}} &\equiv A + B \cdot p_r^{(v)} = \frac{A E_3^2}{E_3^2 - B^2} \pm \frac{B \cdot E_3}{E_3^2 - B^2} \sqrt{A^2 - M_r^2 (E_3^2 - B^2)} \\
 &> \frac{A E_3^2}{E_3^2 - B^2} - \frac{E_3 \cdot E_3}{E_3^2 - B^2} \sqrt{A^2} > 0, \\
 \text{da } |B| &\equiv p_3 \cdot |(n_3, n_r)| < E_3.
 \end{aligned}$$

#### 4. Berechnung von $\zeta_r$ .

Mit Gl. (26), (27), (28), (40), (41) und (44) sind jetzt alle in Formel (24) auftretenden Größen  $W_r$ ,  $f(M_r)$  und  $dN_3$  bekannt, und wir sind in der Lage,  $\zeta_r$  als Funktion von  $p_3$  und  $\theta_3$  anzugeben. Da der Integrand in  $\phi_r$  symmetrisch ist, kann

$$\int_0^{2\pi} d\phi_r \dots \text{ durch } 2 \cdot \int_0^{\pi} d\phi_r \dots$$

ersetzt werden. Außerdem brauchen wir die Integration über  $\theta_r$  nur von 0 bis  $\frac{\pi}{2}$  zu erstrecken, weil  $W_r$  für  $\theta_r > \frac{\pi}{2}$  verschwindet. Setzen wir nunmehr (26), (27), (28), (40) und (41) in (24) ein, so erhalten wir zum Schluß

$$\begin{aligned}
 \zeta_r &= \frac{1}{8\pi \cdot \text{arctg } 2} \cdot \frac{1}{E_3} \cdot \int_0^{\pi/2} d\theta_r \cdot \sin \theta_r \cdot \int_0^{\pi} d\phi_r \times \\
 &\quad \times \int_{M_0 - \Gamma}^{M_0 + \Gamma} dM_r \cdot \left\{ Q(k_s^{(1)}) \cdot F^{(1)} \cdot Q(k_s^{(2)}) \cdot F^{(2)} \right\} \quad (45)
 \end{aligned}$$

mit ( $v = 1, 2$ )

$$F^{(v)} = p_r^{(v)2} \cdot \frac{\Gamma}{(M_r - M_0)^2 + \frac{1}{4} \Gamma^2} \times \quad (46a)$$

$$\times \frac{1}{1 - \frac{k_s^{(v)} - p_r^{(v)} \cos \Theta_r}{\sqrt{k_s^{(v)2} - 2 k_s^{(v)} p_r^{(v)} \cos \Theta_r + p_r^{(v)2} + M_r^2}}} \times \quad (46a)$$

$$\times \frac{2 M_r}{\sqrt{(M_r^2 + M_3^2 - M_5^2)^2 - 4 M_3^2 M_r^2}} \times$$

$$\times \frac{1}{\left| E_3 \cdot \frac{p_r^{(v)}}{M_r \cdot \sqrt{M_r^2 + p_r^{(v)2}}} - \frac{p_3 \cdot (n_3, n_r)}{M_r} \right|}$$

wenn

$$a) A^2 - M_r^2 (E_3^2 - B^2) > 0,$$

das heißt  $p_r^{(v)}$  reell ist;

$$b) p_r^{(v)} > 0;$$

$$c) p_r^{(v)} \cos \Theta_r + M - \sqrt{p_r^{(v)2} + M_r^2} > 0;$$

$$F^{(v)} = 0 \text{ sonst,}$$

(46b)

$$k_s^{(v)} \equiv \frac{2 M \cdot \sqrt{p_3^{(v)2} + M_r^2} + M_4^2 - M_r^2 - M^2}{2 (p_r \cos \Theta_r + M - \sqrt{p_r^{(v)2} + M_r^2})} .$$

Diese Gleichung kann als Ausgangspunkt zur numerischen Berechnung von  $\xi_r$  dienen.

## ERGEBNISSE

	$\Delta k$	$\left(\frac{1}{2\pi}\right)^3 \frac{\xi_2 \Omega^2}{\xi_1 \Omega}$	$\frac{\xi_r \Omega}{\xi_1 \Omega}$	
$\theta_3 = 15^\circ; p_3 = 1,25$ [GeV]	0,1	0,07	0,05	
	0,15	0,20	0,13	
	$k_1 = 1,022$	0,2	0,38	
	$k_2 = 1,073$	0,3	0,86	
	$p_3 = 1,5$	0,1	0,09	0,035
	0,15	0,24	0,094	
$k_1 = 1,277$	0,2	0,43	0,18	
$k_2 = 1,325$	0,3	0,95	0,35	
$p_3 = 2$	0,1	0,12	0,01	
	0,15	0,30	0,06	
	$k_1 = 1,818$	0,2	0,52	0,10
	$k_2 = 1,862$	0,3	1,1	0,24
	$p_3 = 2,5$	0,1	0,150	0,003
	0,15	0,355	0,024	
$k_1 = 2,393$	0,2	0,60	0,07	
$k_2 = 2,436$	0,3	1,23	0,15	
$p_3 = 3$	0,1	0,18	-	
	0,15	0,41	0,009	
	$k_1 = 2,999$	0,2	0,69	0,025
	$k_2 = 3,042$	0,3	1,36	0,104

$$\Delta k = k_{\max} - k_1$$

	$\Delta k$	$\left(\frac{1}{2\pi}\right)^2 \frac{\xi_2 \Omega^2}{\xi_1 \Omega}$	$\frac{\xi_r \Omega}{\xi_1 \Omega}$	
$\theta = 30^\circ; \quad p_3 = 1 \quad [\text{GeV}]$	0,1	0,03	0,02	
	0,15	0,13	0,08	
	$k_1 = 0,960$	0,2	0,26	
	$k_2 = 1,028$	0,3	0,60	
	$p_3 = 1,5$	0,1	0,065	0,0017
		0,15	0,210	0,0135
	$k_1 = 1,685$	0,2	0,389	0,05
	$k_2 = 1,748$	0,3	0,829	0,157
	$p_3 = 2$	0,1	0,090	-
	0,15	0,289	0,0017	
$k_1 = 2,604$	0,2	0,526	0,0075	
$k_2 = 2,668$	0,3	1,08	0,039	

$\theta_3 = 45^\circ;$	$p_3$	[GeV]	$\Delta k$	$(\frac{1}{2\pi})^3 \frac{\beta_2 \Omega^2}{\beta_1 \Omega}$	$\frac{\beta_1 \Omega}{\beta_1 \Omega}$
	$p_3 = 0,75$		0,1	0	0
			0,15	0,032	0,01
	$k_1 = 0,958$		0,2	0,103	0,039
	$k_2 = 1,068$		0,3	0,304	0,1
	$p_3 = 1$		0,1	0	0
			0,15	0,050	0,001
	$k_1 = 1,516$		0,2	0,149	0,004
	$k_2 = 1,623$		0,3	0,409	0,048
	$p_3 = 1,25$		0,1	0	0
			0,15	0,053	0
	$k_1 = 2,295$		0,2	0,178	0
	$k_2 = 2,408$		0,3	0,500	0,005
	$p_3 = 1,5$		0,1	0	
			0,15	0,032	
	$k_1 = 3,429$		0,2	0,174	
	$k_2 = 3,556$		0,3	0,559	

$\theta_3 = 60^\circ; p_3$	$k_1$	$k_2$	$\Delta k$	$(\frac{1}{2\pi})^3 \frac{\xi_2 \Omega^2}{\xi_1 \Omega}$	$\frac{\xi_n \Omega}{\xi_1 \Omega}$
$p_3 = 0,5$ [GeV]			0,1	0	0
			0,15	0	0
	$k_1 = 1,014$		0,2	0	0
	$k_2 = 1,248$		0,3	0,033	0,0004
			0,4	0,132	0,019
			0,5	0,268	0,051
$p_3 = 0,55$			0,1	0	0
			0,15	0	0
	$k_1 = 1,191$		0,2	0	0
	$k_2 = 1,424$		0,3	0,038	0,001
			0,4	0,145	0,010
			0,5	0,290	0,034
$p_3 = 0,6$			0,1	0	
			0,15	0	
	$k_1 = 1,398$		0,2	0	
	$k_2 = 1,633$		0,3	0,039	
			0,4	0,154	
			0,5	0,307	
$p_3 = 0,65$			0,1	0	
			0,15	0	
	$k_1 = 1,641$		0,2	0	
	$k_2 = 1,882$		0,3	0,038	
			0,4	0,158	
			0,5	0,318	

Den numerischen Rechnungen wurden folgende Werte für  $M_p$ ,  $M_\pi$ ,  $M_0$  und  $\Gamma$  zugrunde gelegt:

$M_p = 0,94$ GeV	(Protonenmasse)
$M_\pi^p = 0,14$ GeV	( $\pi$ -Mesonen-Masse)
$M_0 = 1,237$ GeV	(Masse von $N^*$ )
$\Gamma = 0,118$ GeV	(Halbwertsbreite des Massenspektrums von $N^*$ )

## VERGLEICH MIT DER EXPERIMENTELLEN ERFAHRUNG

Leider können bis heute nur Experimente mit einer sehr viel kleineren Primärenergie (400 - 600 MeV) zum Vergleich herangezogen werden. K. Berkelmann et al.<sup>4)</sup> haben die Zahl von Protonen unter dem Winkel  $\theta_{\beta} = 35,25^{\circ}$  und dem Impuls 420 MeV/c (bzw. 550 MeV/c und 638 MeV/c) als Funktion von  $k_{\max}$  gemessen. Abgesehen von dem endlichen Auflösungsvermögen für Winkel ( $\Delta \theta = 0,95^{\circ}$  und  $\sqrt{(\frac{\Delta p}{p})^2} = 3,35 \%$ ), sowie der speziellen Form der Kante des dort verwandten Bremsspektrums, können diese Funktionen direkt mit Rechnungen nach der statistischen Theorie verglichen werden. Fig. 4a, b, c zeigt für  $p_{\beta} = 550$  MeV/c und 638 MeV/c eine befriedigende Übereinstimmung, während für  $p_{\beta} = 420$  MeV/c die Rechnungen einen 2 bis 3 mal höheren Wert liefern als die Experimente. Beim Vergleich der experimentellen Kurven unter sich fällt allerdings die Kurve mit  $p_{\beta} = 420$  MeV/c durch einen relativ flachen Anstieg auf.

In gleicher Weise wurden die experimentellen Ergebnisse von R. E. Diebold<sup>5)</sup> mit der Theorie verglichen (Fig. 5a, b), obwohl die Meßgenauigkeit hier erheblich geringer ist. Es besteht auch hier annähernde Übereinstimmung.

Zusammenfassend kann man sagen, daß die vorliegende experimentelle Erfahrung die Annahme bestärkt, daß die statistische Theorie mit den hier verwandten Parametern größenordnungsmäßig richtige Anhaltspunkte für den zu erwartenden Untergrund durch Mehrfachproduktion liefert.

Fräulein L. Jorjan danken wir für die Durchführung der numerischen Rechnungen auf der IBM 650.

4) K. Berkelmann, A. Franklin, D. McLeod, S. Richert and A. Silverman, *Il Nuovo Cimento* 27 497 (1963)

5) R. E. Diebold, Thesis 1963, California Institute of Technology

Proportion of  
 wavelength  
 in wavelength  
 of electron

$$\theta_0 = 3525^\circ$$

$$\lambda_0 = 0.638 \text{ GeV}$$

200

100

0

0.4

0.6

0.8

1.0

0.8

0.6

0.4

0.2

$k_{max}$  GeV

$\Delta \lambda_1 \Delta \lambda_2 \Delta \lambda_r$  (shear)

$\Delta \lambda_1 \Delta \lambda_2 \Delta \lambda_r$  (exp)

$\Delta \lambda_1 \Delta \lambda_2$  (shear)

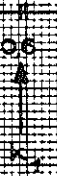


Fig 4a

11. 20. 287

Protonen, Zirkulare  
in Wirklichen  
Einheiten

200

100

0

04

05

06

07

08

09

10

$x_{max}$  [GeV]  
max

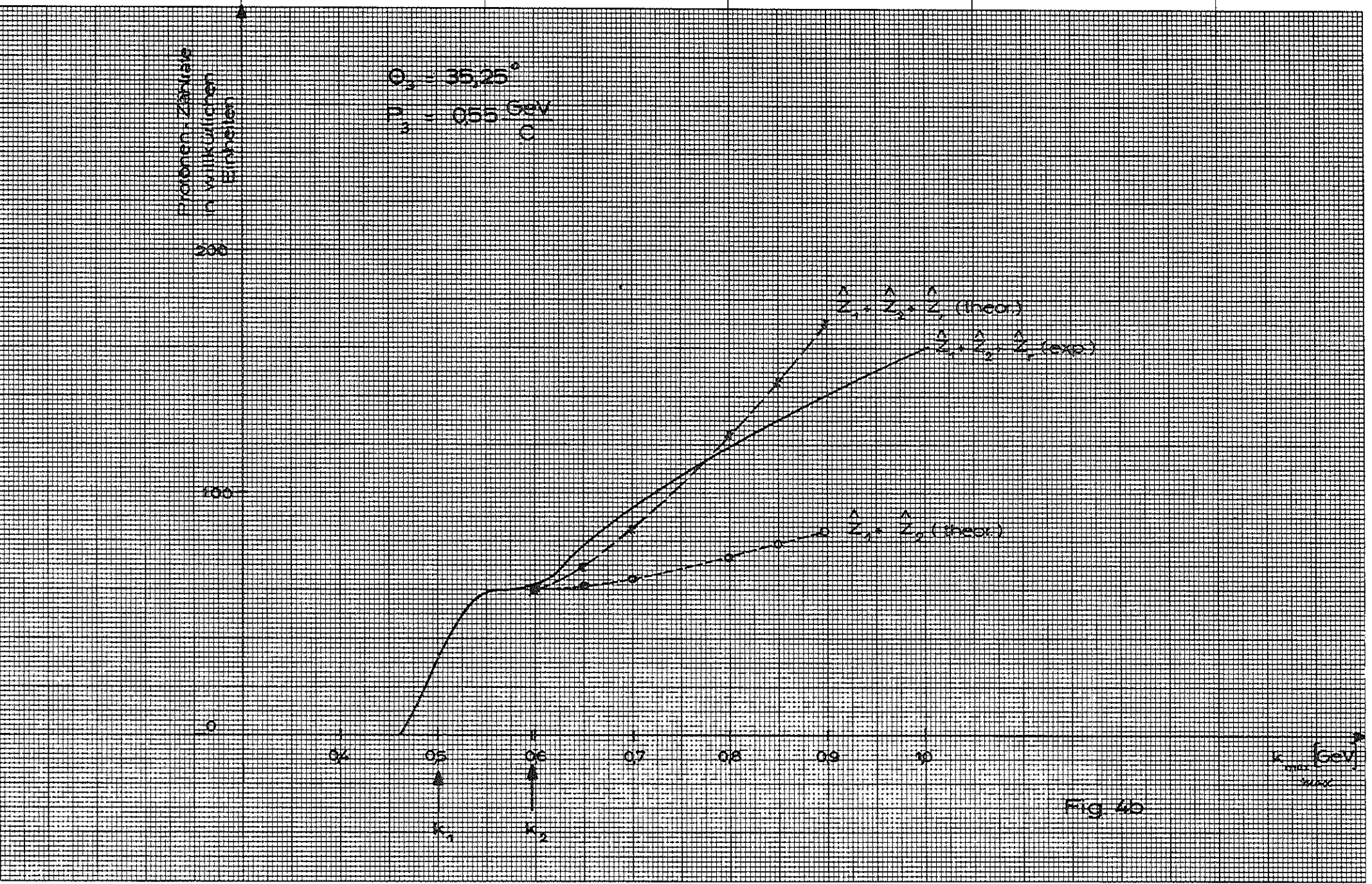
$\theta_{p_1} = 35,25^\circ$   
 $\mu_{p_1} = 0,55 \text{ GeV}$   
0

$\Delta Z_1, \Delta Z_2, \Delta Z_3$  (theo)

$\Delta Z_1, \Delta Z_2, \Delta Z_3$  (exp)

$\Delta Z_1, \Delta Z_2$  (theo)

Fig 40



A 1. 210 x 297 mm

Protonen-Zahlrate  
in willkürlichen  
Einheiten

200

100

0

$\theta_{p_3} = 3525^\circ$   
 $P_{p_3} = 0.42 \text{ GeV}$   
C

$Z_1 + Z_2 + Z_3$  (theo)

$Z_1 + Z_2$  (theo)

$Z_1 + Z_2 + Z_3$  (exp)

$k_r$

$k_s$

0.4

0.5

0.6

0.7

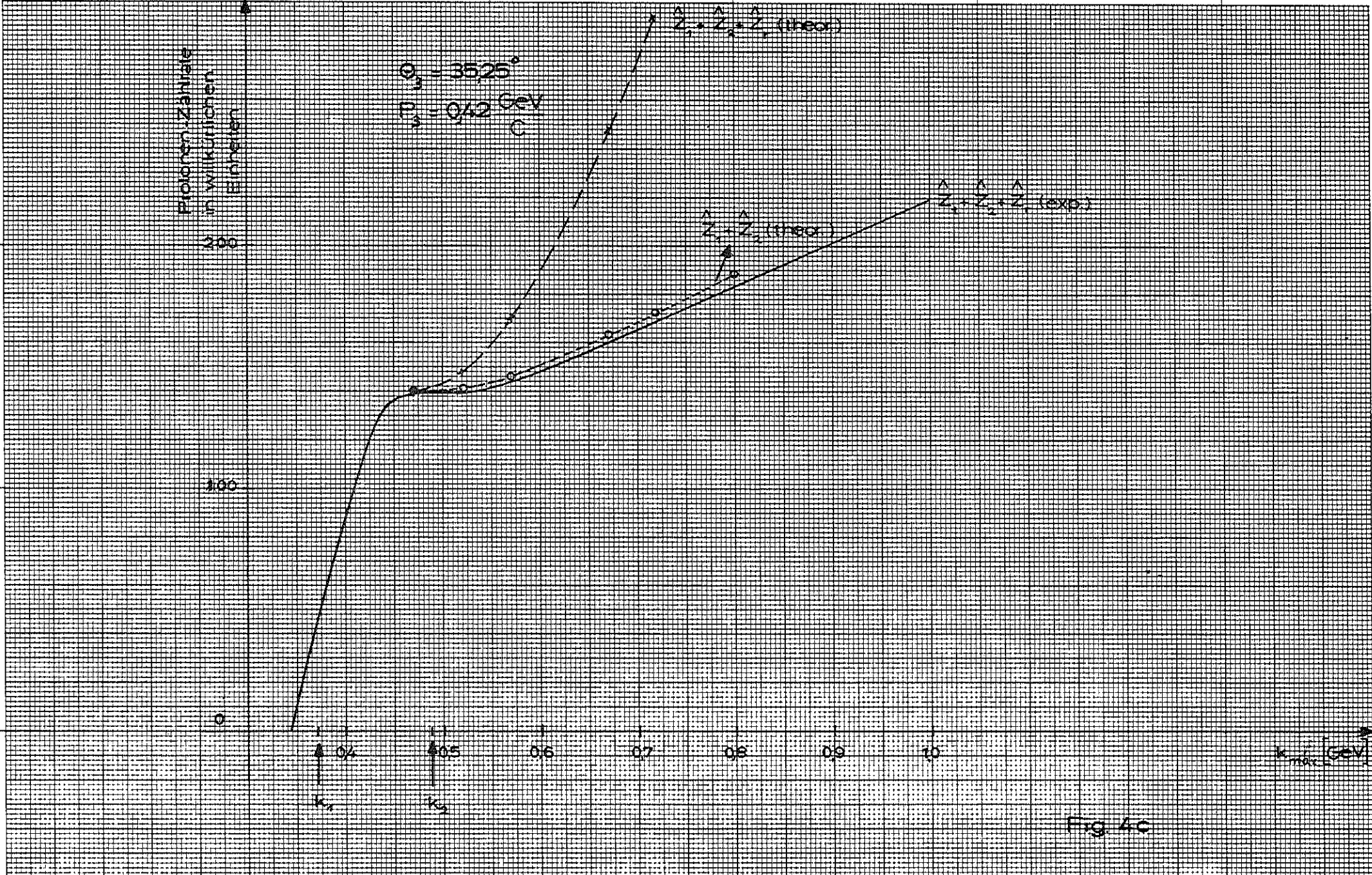
0.8

0.9

1.0

$k_{max} \text{ GeV}$

Fig 4C



1.1. 20. 2017

Protonen Zählrate  
in Willkürlichen  
Einheiten

$k_1 = 0.8 \text{ GeV}$   
 $\theta_2 = 55.7^\circ$   
 $P_3 = 0.495 \frac{\text{GeV}}{c}$

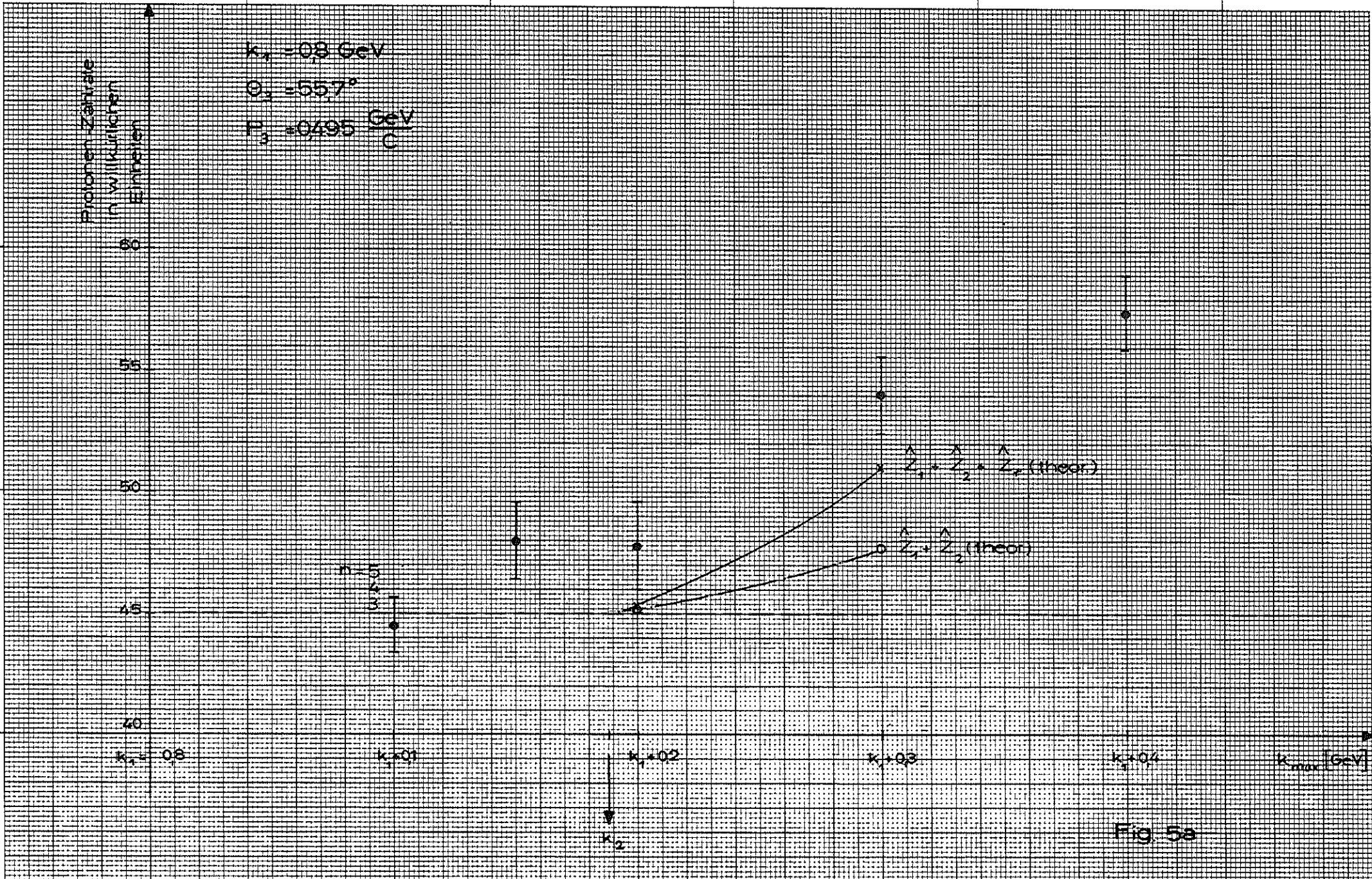
60  
55  
50  
45  
40  
 $k_1 = 0.8$   $k_1 = 0.1$   $k_1 = 0.2$   $k_1 = 0.3$   $k_1 = 0.4$   $k_{max} [\text{GeV}]$

$n$   
4.50  
4.00

$\Delta Z_1 + \Delta Z_2 = \Delta Z_T (\text{theor.})$

$\Delta Z_1 + \Delta Z_2 (\text{theor.})$

Fig. 5a



Protonenzahl der  
Produktkern

$k_1 = 0.6 \text{ GeV}$   
 $\theta_1 = 27^\circ$   
 $T_0 = 0.715 \text{ GeV}$   
 $C$

30  
40  
50  
60  
70  
80  
90  
100  
110  
120  
130  
140  
150  
160  
170  
180  
190  
200  
210  
220  
230  
240  
250  
260  
270  
280  
290  
300  
310  
320  
330  
340  
350  
360  
370  
380  
390  
400  
410  
420  
430  
440  
450  
460  
470  
480  
490  
500  
510  
520  
530  
540  
550  
560  
570  
580  
590  
600  
610  
620  
630  
640  
650  
660  
670  
680  
690  
700  
710  
720  
730  
740  
750  
760  
770  
780  
790  
800  
810  
820  
830  
840  
850  
860  
870  
880  
890  
900  
910  
920  
930  
940  
950  
960  
970  
980  
990  
1000

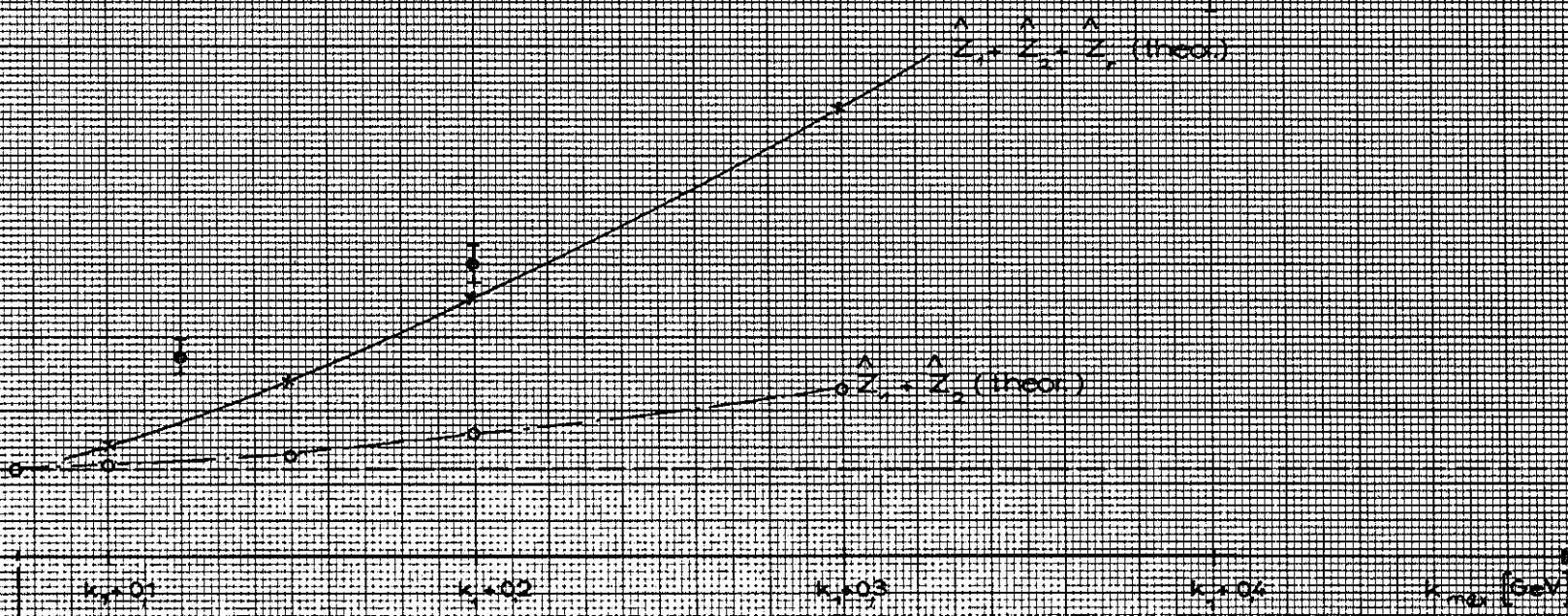


Fig 5b